

УГЛОВЫЕ ХАРАКТЕРИСТИКИ СПЕКТРА ВРМБ ИЗ  
РАЗЛЕТАЮЩЕЙСЯ ЛАЗЕРНОЙ ПЛАЗМЫ

Л. М. Горбунов, П. Сайкин

УДК 533.951

Рассчитаны спектры вынужденного рассеяния Мандельштама-Бриллюэна (ВРМБ) из лазерной плазмы и показано, что с увеличением угла рассеяния максимумы в спектре смещаются в красную сторону. Рассмотрено влияние на спектр рассеяния поперечного размера лазерного луча.

Во многих экспериментальных исследованиях лазерной плазмы наблюдаемое рассеянное излучение вблизи основной частоты связывают с процессом ВРМБ. Однако определенный вывод о природе этого излучения можно сделать только на основании сопоставления экспериментальных данных с результатами теории. Проведенные в /1/ расчеты спектра ВРМБ при обратном рассеянии дали качественное согласие с результатами экспериментов /2,3/. В настоящей работе обобщены результаты работы /1/ и рассчитаны спектры ВРМБ для различных углов рассеяния и для различных радиусов лазерного луча. Показано, что с увеличением угла рассеяния максимум в спектре ВРМБ и граница спектра смещаются в красную сторону. Этот результат качественно согласуется с данными экспериментов /3,4/.

I. Рассмотрим плазму, движущуюся вдоль оси ОХ со скоростью  $u(x)$  навстречу линейно поляризованной электромагнитной волне, имеющей частоту  $\omega_0$  и волновой вектор  $\vec{k}_0 = \{-k_0, 0, 0\}$ . В приближении геометрической оптики коэффициент усиления для рассеянных волн может быть определен из дисперсионного уравнения, описывающего связанные возмущения плотности плазмы и электромагнитного поля /5/.

$$[(\omega - \tilde{E}_0)^2 - k^2 s^2] [(\omega - \omega_0)^2 - \omega_p^2 - c^2 (\vec{k} - \vec{E}_0)^2] = \\ = \frac{1}{4} v_E^2 k^2 \omega_{ID}^2 \sin^2 \Theta, \quad (I)$$

где  $s = (z T_e / m_i)^{1/2}$  – скорость звука,  $T_e$  – температура электронов,  $z$ ,  $m_i$ ,  $\omega_{ID}$  – зарядовое число, масса и ленгмюровская частота ионов,  $E_0$  – амплитуда волны накачки,  $v_E = e E_0 / m \omega_0$ ,  $\sin^2 \Theta = [\vec{k}_0 (\vec{k} - \vec{E}_0)]^2 / (\vec{k} - \vec{E}_0)^2$ ,  $\vec{k}_0 = \vec{E}_0 / E_0$  – вектор поляризации,  $\omega_p$  – плазменная частота.

В нулевом приближении ( $v_E = 0$ ) из уравнения (I) следует связь координаты резонансного взаимодействия волны  $x$  с углом рассеяния  $\Theta$  (угол между направлениями распространения рассеянной волны и осью  $Ox$ ) и смещением частоты  $\Delta$ : /I/:

$$\Delta = (c/2s\omega_0)(\omega' - \omega_0) = (1/2)\sqrt{(1-n(x))(1+\cos\Theta)}[M\sqrt{1+\cos\Theta} - \sqrt{2}], \quad (2)$$

где  $\omega'$  – частота рассеянной волны,  $n = N(x)/N_c$  – безразмерная концентрация электронов,  $N_c = \omega_0^2/4\pi e^2$ ,  $M(x) = u(x)/s$  – число Маха.

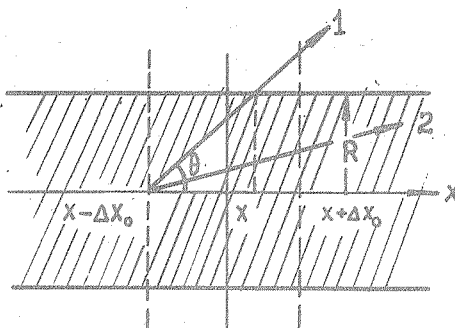
В первом приближении уравнение (I) определяет изменение поправки к продольной компоненте волнового вектора  $k_1$  с координатой  $x'$  вблизи соответствующей резонансной точки  $x/5$ :

$$\left[ k_1^2 (u^2 - s^2) - 2k_1 s (k_{||}^{(0)} s - k^{(0)} u) - 2 \frac{k_{||}^{(0)} k^{(0)} s u}{L_u} \Delta x \right] \times \\ \times \left[ k_1^2 + 2k_1 (k_{||}^{(0)} + k_0) + \frac{k_{||}^{(0)} \omega_p^2}{k_0 c^2 L_N} \Delta x \right] = - \frac{v_E^2 \omega_{ID}^2 k^{(0)2}}{4c^2} \sin^2 \Theta, \quad (3)$$

где  $\Delta x = x' - x$ ,  $k_{||}^{(0)} = -k_0(1 + \cos\Theta)$ ,  $k^{(0)} = k_0 \sqrt{2(1 + \cos\Theta)}$ ,  $L_u = u/(du/dx)$ ,  $L_N = -N/(dN/dx)$ . Усилинию волн соответствуют такие решения уравнения (3), для которых  $\text{Im } k_1(\Delta x) < 0$ . В рассматриваемом нами случае сверхзвукового движения плазмы ( $M > 1$ ) усиление возникает только для рассеянных волн в интервале  $0 < \Theta < \pi/2$ .

Полный коэффициент усиления  $\alpha$  получается в результате интегрирования  $\text{Im } k_1$  по области  $\Delta x$ , в которой эта величина отрицательна. Если ширина области меньше диаметра лазерного луча, то

можно считать, что в процессе усиления волны не выходят за пределы луча (рис. I, луч 2). Тогда интегрирование следует проводить по всей области от  $-\Delta x_0$  до  $+\Delta x_0$ , где  $\text{Im } k_1 < 0$ . Если же диаметр лазерного луча  $2R$  мал, то рассеянная волна выходит за пределы луча раньше, чем проходит всю область усиления (рис. I, луч 1). При этом интегрирование функции  $\text{Im } k_1(\Delta x)$  следует проводить в пределах от  $-\Delta x_0$  до  $R \operatorname{ctg}\theta - \Delta x_0$ .



Р и с. I. Схема, иллюстрирующая зависимость области усиления от радиуса лазерного луча

Из решения уравнения (3) после соответствующего анализа и интегрирования был найден коэффициент усиления  $\alpha(x, \theta, \varphi, R)$ , где  $\varphi$  — угол между вектором  $\vec{k}_0$  и проекцией волнового вектора рассеянной волны на плоскость, перпендикулярную к оси ОХ.

2. Для расчета спектра в выражении для  $\alpha$  следует координату  $x$  выразить через смещение частоты  $\Delta$  с помощью формулы (2). Это можно сделать, если задать определенную модель плазменной короны. Для конкретных расчетов мы использовали следующие функции:

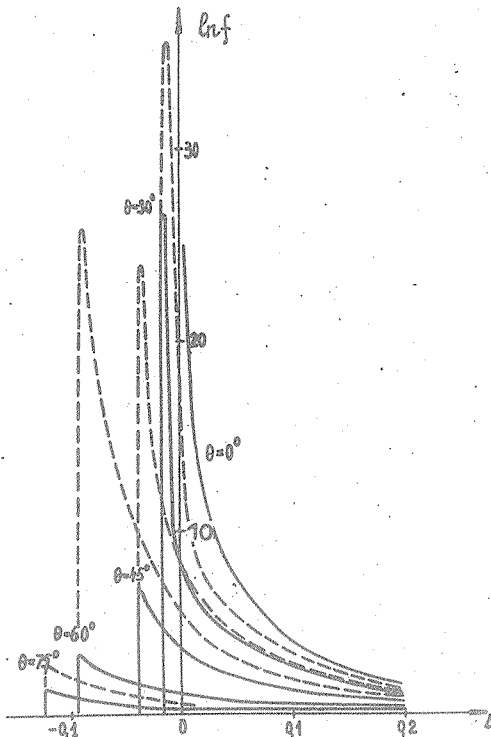
$$\alpha = x_1/(x + x_1), \quad M = M_C + x/x_2, \quad (4)$$

где  $M_C$  — число Маха в точке с критической плотностью, которое мы приняли равным 1;  $x_{1,2}$  — некоторые постоянные величины, которые были выбраны таким образом, что при  $x = 400$  мкм,  $\Delta = 10^{-2}$  и  $M = 2$ . С помощью соотношений (4) для ряда значений  $x$  были рассчитаны функции  $\alpha(x, \theta)$  и  $\alpha(x, \theta, \varphi, R)$  и из сопоставления этих функций была найдена зависимость  $\alpha(\Delta, \theta, \varphi, R)$ .

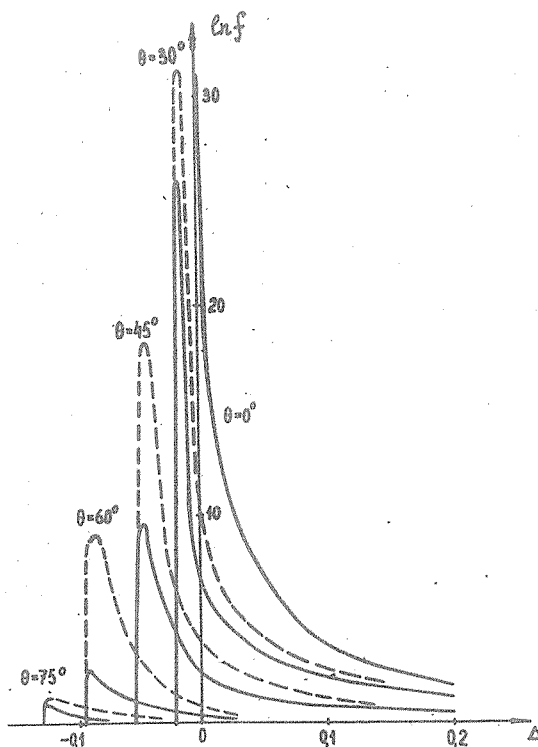
Интенсивность рассеянного излучения в единицу телесного угла и на единичный интервал частот определяется соотношением, полученным в работе /I/:

$$\ln f = \ln \left[ \left( \frac{dI}{d\omega d\Omega} \right) \left( \frac{S T e^{n_0^2}}{8(2\pi)^3 c} \right) \right] = \ln \frac{\sqrt{2} \cos \theta}{\sqrt{1 + \cos \theta}} + \\ + \ln \left[ \sqrt{1 - n_1} \left( e^{2x_1} - 1 \right) + \sqrt{1 - n_2} \left( e^{2x_2} - 1 \right) \right], \quad (5)$$

где  $S$  – площадь поперечного сечения лазерного луча,  $d\Omega = \sin \theta d\phi d\psi$ , индексы I и 2 соответствуют двум различным точкам х, дающим, согласно (2), одно и то же значение  $\Delta$ .



Р и с. 2. Спектры рассеянного излучения для различных углов  $\theta$  в двух плоскостях ( $\varphi = 0$  – сплошная линия,  $\varphi = \pi/2$  – пунктирная линия), ( $R = 100$  мкм,  $(v_E/v_{Te})^2 = 0,1$ )



Р и с. 3. Спектры рассеянного излучения для различных углов  $\Theta$  в двух плоскостях ( $\varphi = 0$  – сплошная линия,  $\varphi = \pi/2$  – пунктирная линия), ( $R = 5$  мкм,  $(v_E/v_{Te})^2 = 0,1$ )

3. Результаты расчетов представлены на рис. 2,3, из которых видно, что при  $\Delta > 0$  (синяя часть спектра) интенсивность рассеянного излучения плавно убывает с ростом  $\Delta$ . При  $\Delta < 0$  (красная часть спектра) для определенных углов рассеяния  $\Theta$  имеется граница  $\Delta_b$ , за которой рассеянное излучение отсутствует, и частота  $\Delta_m$ , при которой интенсивность максимальна.

Красной границе в спектре соответствует максимальное значение функции (2), которое определяется из соотношения  $(d\Delta/dx) = 0$  или

$$\frac{dn}{dx} \left( M \cos \frac{\Theta}{2} - 1 \right) = 2(1 - n) \frac{dM}{dx} \cos \frac{\Theta}{2}. \quad (6)$$

Для функций (4) из равенства (6) легко определить координату  $x_b$  той области в плазме, из которой возникает красная граница спектра, и найти с помощью выражения (2) величину  $\Delta_b$ . Общее выражение для  $\Delta_b$  достаточно громоздкое, но при рассматриваемых нами параметрах его можно приближенно записать в виде:

$$\Delta_b = -\cos \frac{\theta}{2} \left[ 1 - M_c \cos \frac{\theta}{2} - \sqrt{\frac{x_1}{2x_2}} \cos \frac{\theta}{2} \left( 1 - M_c \cos \frac{\theta}{2} \right) \right] \times \\ \times \left[ 1 + \left( \frac{2x_1}{x_2} \right)^{1/4} \left( \cos^{-1} \frac{\theta}{2} - M_c \right)^{-1/4} \right]^{-1/2}. \quad (7)$$

Максимум в спектре связан с тем, что в плазменной короне имеется область, в которой выполняется не только резонансное условие  $\vec{k}_0 = \vec{k} + \vec{k}'$ , но и  $\frac{d}{dx} (\vec{k}_0 - \vec{k} - \vec{k}') = 0$ . Это значит, что неоднородность плазмы очень медленно нарушает в этой области резонансное взаимодействие волн и они усиливаются наиболее эффективно. Приведенные условия определяют точку  $x_m$ , из которой возникает максимум спектра, и могут быть записаны в виде /6/:

$$\frac{dn}{dx} \left( M - \cos \frac{\theta}{2} \right) + 2 \frac{dm}{dx} \cos \theta (1 - n) = 0. \quad (8)$$

Определив из формулы (8) с помощью соотношений (4) координату  $x_m$ , можно вычислить величину  $\Delta_m$ . Для наших параметров:

$$\Delta_m = -\cos \frac{\theta}{2} \sqrt{1 - \sqrt{\frac{2x_1 \cos \theta}{x_2 (M_c - \cos \theta/2)}}} \times \\ \times \left[ 1 - M_c \cos \frac{\theta}{2} - \cos \frac{\theta}{2} \sqrt{\frac{x_1}{2x_2} \frac{(M_c - \cos \theta/2)}{\cos \theta}} \right]. \quad (9)$$

При бесконечном радиусе лазерного луча интенсивность рассеяния при  $\alpha = \Delta_m$  обращается в бесконечность. Ограниченнность поперечного размера лазерного луча приводит к тому, что максимум в спектре является конечным.

Как видно из рис. 2,3, с уменьшением радиуса лазерного луча интенсивность рассеяния при больших углах  $\theta$  падает, а интенсивность рассеяния назад не изменяется. Поэтому диаграмма направленности при рассеянии становится более узкой.

Из рис. 2,3 также видно, что рассеяние в плоскости  $\varphi = \pi/2$  является более интенсивным, нежели в плоскости  $\varphi = 0$ , хотя основные

характеристики спектра отличаются слабо.

В экспериментах /3,4/ измерялся спектр для углов  $\Theta = 0^\circ$  и  $\Theta = 45^\circ$  при нормальном падении лазерного луча на плоскую мишень. Было обнаружено, что для  $\Theta = 0^\circ$  в спектре имеется синяя составляющая. При  $\Theta = 45^\circ$  она отсутствует и весь спектр содержит только красную компоненту. Эти результаты согласуются качественно с результатами нашего расчета.

Поступила в редакцию  
15 июня 1980 г.

### Л и т е р а т у р а

1. Л. М. Горбунов, А. Н. Поляничев, Физика плазмы, 5, 566 (1979).
2. Л. М. Горбунов и др., Письма в ЖЭТФ, 26, 242 (1978).
3. I. Mizui et. al., Journ. Phys. Soc. Japan, 41, 1334 (1976).
4. Л. М. Горбунов и др., Препринт ФИАН № 126, 1979 г.
5. Л. М. Горбунов, А. Н. Поляничев, ЖЭТФ, 74, 552 (1978).
6. C. S. Liu, M. N. Rosenbluth, R. White, Phys. Fluids, 17, 1211 (1974).